



## Landslide susceptibility mapping using various soft computing techniques (Case study: A part of Haraz Watershed)

Alireza Sepahvand<sup>1\*</sup> , Nasrin Beiranvand<sup>2</sup> 

<sup>1</sup> Assistant Professor, Department of Range and Watershed Management Engineering, Faculty of Natural Resources, Lorestan University, Khorramabad, Lorestan Province, Iran

<sup>2</sup> Ph.D. Student, Department of Range and Watershed Management, Faculty of Natural Resources, Lorestan University, Khorramabad, Lorestan Province, Iran

### Abstract

#### Introduction

A landslide is one of the mass movements on the top surface of the earth. Landslides have resulted in notable injury and damage to human life and destroyed infrastructure and property. Landslides represented approximately Nine percent of the natural disasters worldwide during the 1990s. According to studies, this trend is expected to continue due to increased human development. Many studies have been done to determine the factors affecting mass movement. In large part of Iran including the mountain areas, tectonic activity and seismic high with diverse geological and weather conditions led to many countries prone to landslide. Landslides cause wide damage to natural resources, human settlements, infrastructure, mud floods, and filling reservoirs. Landslides cause extensive property damage and occasionally result in loss of life. Besides, should not be ignored the social and environmental impacts resulting from the occurrence of this phenomenon, such as immigration and unemployment. One of the strategies for reducing losses due to a range of movements is the identification and management of unstable slope areas. To identify unstable regions pay to landslide hazard mapping. The main purpose of this research is to assess the effective parameter on landslide occurrence and to compare different machine learning models including SVM, GP regression, and RF for landslide susceptibility zoning.

#### Materials and Methods

The study area is a part of the Haraz Watershed, Mazandaran Province, Iran, occurrence many landslides are damaged after each heavy rain. So, it was selected as a suitable Watershed to evaluate the landslide susceptibility mapping (LSM). The vegetation covers and land mainly consists of rangeland. The geology of the study area consists mainly of Quaternary and Shemshak formations. The first step for the assessment of landslide susceptibility is gathering the necessary data and preparing information. These data were determined based on several factors. Considering the literature review, the local conditions, and previous studies. In this study, nine parameters such as slope angle, slope aspect, elevation, geology, land use, the distance of fault, the distance of the road, the distance of the river, and precipitation were identified as key factors for the prediction of landslide susceptibility. To assess the effectiveness of GP-PUK, GP-RBF, SVM-PUK, SVP-RBF, AND RF to estimate the landslide susceptibility map (LSM), data used in the present study were taken from field data. In this study, the dataset contains 148 observations of landslide occurrence and landslide non-occurrence points. The landslide data have been randomly separated into training (70% of landslides; 103) and testing (30% of the landslides; 45). To judge the performance of the soft computing techniques, statistical evaluation parameters were used. In this research, three statistical evaluation parameters were used. These parameters are the correlation coefficient (C.C.), root mean square error (RMSE), and Nash–Sutcliffe model efficiency (NSE).

#### Results and Discussion

According to the results of the comparison of methods, RF was the best model and the accuracy of the RF model was more suitable for the estimation of the landslide occurrence. So, in this study, RF was used for the landslide susceptibility map. Single-factor ANOVA test suggests that there is an insignificant difference between observed and predicted values of landslide occurrence and landslide non-occurrence using GP\_PUK, GP\_RBF,



SVM\_PUK, SVM\_RBF and Random Forest approaches. According to the results of the comparison of methods, RF was the best model and the accuracy of the RF model was more suitable for the estimation of the landslide occurrence. The map of landslide susceptibility map was divided into five classes from none susceptible to very high susceptibility. According to the final Landslide susceptibility map, the area belonging to the “non-susceptible” class covers 35.86 km<sup>2</sup>, “low susceptibility” class 36.19 km<sup>2</sup>, “moderate susceptibility” class 15.06 km<sup>2</sup>, “high susceptibility” class 10.95 km<sup>2</sup> and “very high susceptibility” class 14.46 km<sup>2</sup> of Haraz Watershed. Sensitivity analysis was performed to find the most significant input parameter in the prediction of landslide occurrence and landslide non-occurrence. The result shows that aspect has a major role in predicting landslide occurrence and landslide non-occurrence in comparison to other input parameters, respectively.

### Conclusion

Due to all results, some zones are potentially dangerous for any future habitation and development. Thus, there is an immediate need to implement mitigation measures in the very high-hazard and high-hazard zones, or such zones need to be avoided for habitation or any future developmental activities. The results of this research can be used by the local authority to manage properly, and systematically and plan development within their areas.

**Keywords:** Haraz Watershed, Landslide, Landslide Susceptibility Index (LSI), Support Vector Machine, Gaussian Process, Random Forest method

**Article Type:** Research Article

### Acknowledgment

We thank Lorestan University for its cooperation.

### Conflicts of interest

The authors of this article declared no conflict of interest regarding the authorship or publication of this article.

### Data availability statement

All data generated during the manuscript analysis are included in the article. Further datasets are available upon a reasonable request to the corresponding author.

### Authors' contribution

**Alireza Sepahvand:** Conceptualization, Supervision, Final editing; **Nasrin Beiranvand:** Writing - original draft preparation , Resources, Software, Manuscript editing.

\*Corresponding Author, E-mail: Sepahvand.a@lu.ac.ir

**Citation:** Sepahvand, A., & Beiranvand, N. (2024). Landslide susceptibility mapping using various soft computing techniques (Case study: A part of Haraz Watershed). *Water and Soil Management and Modeling*, 4(2), 261- 278.  
DOI: 10.22098/mmws.2023.12678.1263

Received: 09 April 2023, Received in revised form: 01 May 2023, Accepted: 03 May 2023, Published online: 03 May 2023  
*Water and Soil Management and Modeling*, Year 2024, Vol. 4, No. 2, pp. 261-278

Publisher: University of Mohaghegh Ardabili

© Author(s)





## مدل‌سازی و مدیریت آب و خاک



شایعه‌نامه این‌جاگزینی: ۲۷۸۳-۲۵۶

### پنهانه‌بندی حساسیت وقوع زمین‌لغزش با استفاده از الگوریتم‌های یادگیری ماشین (منطقه مورد مطالعه: بخشی از حوزه آبخیز هراز)

علیرضا سپهوند<sup>۱\*</sup>، نسرین بیرانوند<sup>۲</sup>

<sup>۱</sup> استادیار، گروه مهندسی مرتع و آبخیزداری، دانشکده منابع طبیعی، دانشگاه لرستان، خرم‌آباد، ایران

<sup>۲</sup> دانشجوی دکتری، گروه مهندسی مرتع و آبخیزداری، دانشکده منابع طبیعی، دانشگاه لرستان، خرم‌آباد، ایران

#### چکیده

زمین‌لغزش یکی از انواع پدیده‌های زمین‌شناسی در سراسر جهان است که هر ساله تلفات جانی و خسارات اقتصادی زیادی را به همراه دارد. بنابراین، این پژوهش بهمنظور ارزیابی پنهانه‌بندی حساسیت وقوع زمین‌لغزش با استفاده از الگوریتم‌های مختلف یادگیری ماشین از نوع ماشین پشتیبان بردار (SVM) و رگرسیون فرآیند گاووسی (SVM) با دو کرنل PUK و RBF و جنگل تصادفی (RF) در بخشی از حوزه آبخیز هراز، ایران انجام شده است. در پژوهش حاضر از نُه عامل شیب، جهت، ارتفاع، زمین‌شناسی، کاربری اراضی، فاصله از گسل، فاصله از جاده، فاصله از رودخانه و بارش به عنوان پارامترهای ورودی و نقاط لغزشی و غیرلغزشی به عنوان پارامتر خروجی برای مدل‌سازی و پنهانه‌بندی حساسیت وقوع زمین‌لغزش استفاده شد. از مجموع ۱۴۸ نقاط لغزشی و غیرلغزشی، ۷۰ درصد برای مرحله آزمایش مدل‌سازی استفاده شد. برای ارزیابی کارایی مدل‌ها و انتخاب مدل بهینه از معیارهای سنجش خطای مدل Accuracy، F1-score و AUC و برای تحلیل حساسیت از روش حذفی استفاده شد. نتایج بدست آمده نشان داد که مدل RF (با  $AUC=0.999$  و  $F1\text{-score}=0.957$ ) در بخش آزمایش در مقایسه با دیگر مدل‌ها به عنوان بهترین مدل برای پنهانه‌بندی حساسیت وقوع زمین‌لغزش انتخاب شد. بر اساس نتایج نقشه پنهانه‌بندی مشخص شد که به ترتیب  $9/73$ ،  $13/38$ ،  $32/16$  و  $12/84$  درصد در طبقات با حساسیت خیلی کم، کم، متوسط، زیاد و خلیی زیاد قرار دارد. علاوه بر این نتایج تحلیل حساسیت مدل نشان داد که جهت شبیه، حساس‌ترین پارامتر در پنهانه‌بندی خطر وقوع زمین‌لغزش است. مقایسه نتایج مدل‌ها نشان داد که ارتباط معناداری بین مقادیر پیش‌بینی شده و مقادیر مشاهداتی با استفاده از مدل‌های استفاده شده وجود ندارد. بر اساس نتایج به دست آمده از نقشه پنهانه‌بندی حساسیت وقوع زمین‌لغزش می‌توان به اولویت‌بندی و مدیریت مناطق پایدار و با حساسیت کم به وقوع حرکت‌های توده‌ای برای اجرای عملیات عمرانی پرداخت.

**واژه‌های کلیدی:** حوزه آبخیز هراز، رگرسیون فرآیند گاووسی، زمین‌لغزش، شاخص حساسیت زمین‌لغزش، ماشین بردار پشتیبان، مدل جنگل تصادفی

**نوع مقاله:** پژوهشی

\*مسئول مکاتبات، پست الکترونیکی: Sepahvand.a@lu.ac.ir

استناد: سپهوند، علیرضا، و بیرانوند، نسرین (۱۴۰۳). پنهانه‌بندی حساسیت وقوع زمین‌لغزش با استفاده از الگوریتم‌های یادگیری ماشین (منطقه مورد مطالعه: بخشی از حوزه آبخیز هراز). مدل‌سازی و مدیریت آب و خاک، ۴(۲)، ۲۶۱-۲۷۸.

DOI: 10.22098/mmws.2023.12678.1263

تاریخ دریافت: ۱۴۰۲/۰۱/۲۰، تاریخ بازنگری: ۱۴۰۲/۰۲/۱۱، تاریخ پذیرش: ۱۴۰۲/۰۲/۱۳، تاریخ انتشار: ۱۴۰۲/۰۲/۱۳

مدل‌سازی و مدیریت آب و خاک، سال ۱۴۰۳، دوره ۴، شماره ۲، صفحه ۲۶۱ تا ۲۷۸  
ناشر: دانشگاه حقوق اردبیلی  
نویسنده‌گان: ©



## ۱- مقدمه

زمین‌لغزش با علم بشر قابل تعیین نیست بنابراین، یکی از راه‌های کاهش این خسارت‌ها تعیین میزان حساسیت مناطق مختلف به وجود زمین‌لغزش است (Rossi et al., 2019). از این‌رو، برای تعیین حساسیت دامنه‌ها به موقع زمین‌لغزش، به پهنه‌بندی حساسیت و موقع زمین‌لغزش در مناطق مختلف پرداخته می‌شود. در پهنه‌بندی حساسیت زمین‌لغزش سطح زمین به نواحی مجزایی از درجات مختلف حساسیت کم تا بسیار زیاد تقسیم می‌شود (Lee et al., 2003 and 2006). روش‌های مختلفی برای پهنه‌بندی حساسیت به موقع زمین‌لغزش (LSI<sup>1</sup>) وجود دارد. در این راستا، روش‌های الگوریتم یادگیری، روش‌های متداولی هستند که برای پهنه‌بندی حساسیت و موقع زمین‌لغزش کمتر مورد استفاده قرار گرفته‌اند. در این پژوهش از روش‌های ماشین بردار پشتیبانی<sup>2</sup> (SVM)، جنگل تصادفی و مدل رگرسیون فرآیند گاوی<sup>3</sup> (GPR) استفاده شده است. مدل‌های یادگیری ماشین به لحاظ به کارگیری الگوریتم‌های تخمين توزیع، طبیعت داده محور و تکرار بالای فرآیند مدل‌سازی، توانایی بالایی در شناسایی رفتار و موقع پدیده زمین‌لغزش داشته و در پژوهش‌های متعددی برتری نسبی خود را نسبت به مدل‌های آماری دو متغیره و چند متغیره اثبات نموده‌اند (Lee et al., 2006; Trigila et al., 2015; Kornejady and Poorghasemi, 2019). در رابطه با پهنه‌بندی حساسیت به موقع زمین‌لغزش در ایران و سایر نقاط جهان پژوهش‌هایی با روش‌های مختلف انجام شده است. به عنوان مثال، Ahmadabadi and Rahmati (2016) با استفاده از توابع خطی و چندجمله‌ای در مدل ماشین بردار پشتیبانی و انتخاب نه عامل تأثیرگذار بر موقع زمین‌لغزش، حساسیت و موقع زمین‌لغزش را در آزادراه خرم‌آباد پل زال پهنه‌بندی نمودند که بر اساس نتایج مدل تابع چندجمله‌ای بهترین عملکرد را در مدل‌سازی فرآیند وقوع زمین‌لغزش داشته که نشان از رفتار غیرخطی این پدیده در منطقه مورد مطالعه داشت. در ادامه، Colkesen et al. (2016) به بررسی حساسیت منطقه به رانش با استفاده از فرآیند گوسی<sup>4</sup>، ماشین پشتیبانی بردار و رگرسیون لجستیک<sup>5</sup> (LR) در ترکیه پرداختند. نتایج نشان داد که مدل‌های GPR و SVM به طور کلی دارای نتایج مشابهی بودند، ولی روش LR دارای برتری ۱۸ درصد نسبت به دو روش قبلی بود.

از سایر پژوهش‌ها، Sepahvand et al. (2016) به پهنه‌بندی حساسیت زمین‌لغزش با استفاده از شبکه عصبی مصنوعی در حوزه

<sup>1</sup> Landslide susceptibility index

<sup>2</sup> Support vector machine

<sup>3</sup> Gaussian process regression

<sup>4</sup> Gaussian processes

<sup>5</sup> Logistic regression

زمین‌لغزش به جایه‌جایی و حرکت مواد تشکیل‌دهنده دامنه، شامل صخره‌های طبیعی، خاک، انباسته‌های مصنوعی، قطعات بخش و یا مخلوطی از آن‌ها به طرف پایین شیب در اثر نیروی ثقل اطلاق می‌شود (Sepahvand et al., 2016; Ganesh et al., 2023). به عبارتی زمین‌لغزش شامل حرکت تند یا گند مواد سنگی، خاکی یا مجموعه‌ای از مواد سنگی که سمت پایین تحت تأثیر نیروی ثقل است (Crosta, 2009) که در آن سرعت حرکت مواد در همه نقاط از بالا تا پایین یکسان است (Ahmadi, 2007). این پدیده زمانی رخ می‌دهد که نیروی حاصل از وزن مواد بیش از نیروی مقاومت برشی خاک باشد (Sepahvand et al., 2016). زمین‌لغزش یکی از مهم‌ترین خطرات روی زمین است که سلانه خسارت‌های زیادی در مناطق کوهستانی در تمام دنیا به وجود می‌آورد (Caniani et al., 2008; Kavzoglu et al., 2014; Rossi et al., 2019). به طوری که زمین‌لغزش نه درصد از کل پدیده‌های طبیعی در دهه گذشته را در برگرفته و این روند رو به رشد در دهه‌های آتی ادامه دارد (Yilmaz, 2009). بر همین اساس افزایش رشد توسعه و عمران شهری و روستایی موجب بروز برخی ناهمجارتی‌های طبیعی نیز شده است. حرکت‌های توده‌ای و به‌خصوص زمین‌لغزش در زمرة پرخطرترین و زیبایترین پدیده‌ها قرار گرفته و در دهه اخیر با دستکاری بشر در سامانه‌های طبیعی شتاب افزایش یافته است (Solaimani et al., 2015; Sepahvand et al., 2016). وجود لغزش یا احتمال وقوع آن، می‌تواند بیشتر فعالیت‌های عمرانی و اجرایی از جمله جاده‌سازی، شهرسازی، سازه‌های آبی، عملیات آبخیزداری و منابع طبیعی، نهرهای آبرسانی، دکلهای انتقال برق و غیره را تحت تأثیر قرار دهد (Moghim and Nejabat, 2019). در این میان، بخش بزرگی از کشور ایران را که مناطق کوهستانی تشکیل داده است، فعالیت‌های زمین‌ساختی و لرزه‌خیزی زیادی همراه با شرایط متنوع زمین‌شناسی و اقیانی موجب شده تا کشور مستعد وقوع طیف وسیعی از زمین‌لغزش‌ها باشد. در بی‌این نیز سلانه خسارت جانی و مالی فراوانی به کشور وارد سازد و هزینه فراوانی برای بازسازی مناطق آسیب‌دیده بر بودجه کشور تحمیل شود (Alijani et al., 2007; Sepahvand et al., 2016). از طرفی، در کشورهای پیشرفته معمولاً بیش از آغاز هرگونه فعالیت اجرایی و عمرانی، شرایط و وضعیت منطقه در رابطه با زمین‌لغزش و پتانسیل وقوع آن بررسی می‌شود تا بدین‌وسیله از خسارت‌های احتمالی در این زمینه جلوگیری به عمل آید (Lan et al., 2004). از دیدگاه آبخیزداری و منابع طبیعی، پدیده زمین‌لغزش در حوزه‌های آبخیز از جهات گوناگونی تأثیرگذار است (Moghim).

لغزش در مقایسه با الگوریتم CNN است. همچنین، Goli (2022) به مدل‌سازی و پهنه‌بندی حساسیت زمین‌لغزش با استفاده از سه مدل داده‌کاوی SVM و EBF و WOE پرداختند. نتایج نشان داد متغیرهای زمین‌شناسی، ارتفاع، شیب، خاک‌شناسی و کاربری اراضی مهم‌ترین عوامل در وقوع زمین‌لغزش منطقه مورد مطالعه هستند. از بین مدل‌های استفاده شده نیز، مدل EBF نسبت به دو مدل دیگر AUC بیشتری داشته و به عنوان مدل برتر در پیش‌بینی مکانی حساسیت زمین‌لغزش در منطقه مورد مطالعه انتخاب شده است. در نهایت، Huang et al. (2023a) پهنه‌بندی حساسیت وقوع زمین‌لغزش را با استفاده از الگوریتم‌های یادگیری عمیق در منطقه سیچوان بررسی کردند. آن‌ها از مدل Conv-SE-LSTM استفاده و ۱۶۶۹ زمین‌لغزش در منطقه مشخص کردند. نتایج آن‌ها نشان داد که مدل استفاده شده با دقت بالایی توانایی پهنه‌بندی حساسیت وقوع زمین‌لغزش را دارد. بنابراین، با توجه به نتایج پژوهش‌های انجام شده و بر اساس این‌که جاده هراز یکی از راههای مواسلاتی اصلی کشور است و با توجه به این‌که از الگوریتم‌های یادگیری ماشین برای تهیه نقشه پهنه‌بندی حساسیت به وقوع زمین‌لغزش در منطقه مورد مطالعه استفاده نشده است، لذا هدف اصلی این پژوهش بررسی کارایی مدل‌های ماشین‌پشتیبان بردار و فرآیند گوسی با دو کرنل شعاعی محور و پیرسون و روش جنگل تصادفی برای پهنه‌بندی حساسیت وقوع زمین‌لغزش در بخشی از حوزه آبخیز هراز است.

## ۲- مواد و روش‌ها

### ۲-۱- منطقه مورد مطالعه

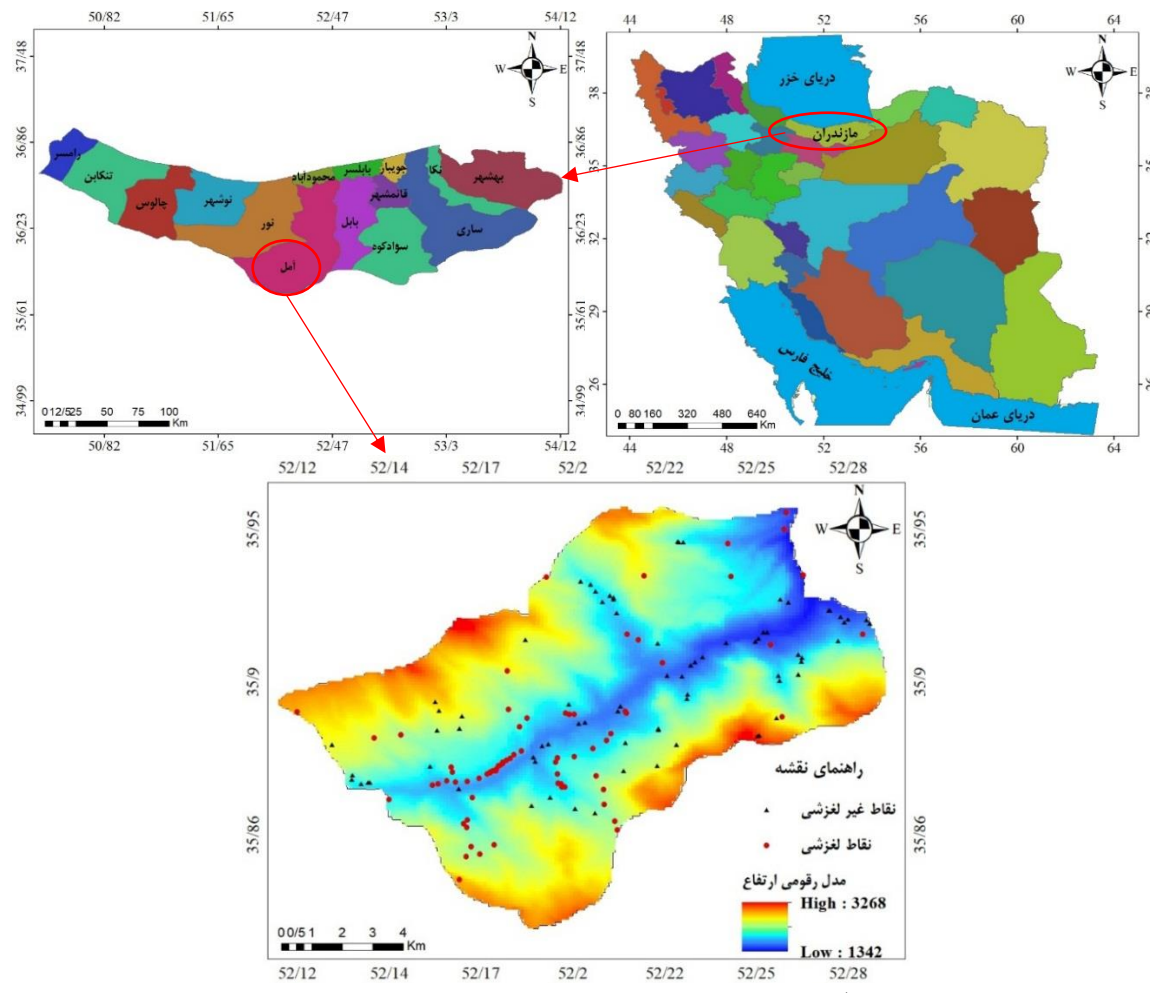
منطقه مورد مطالعه در استان مازندران در بخش مرکزی سلسله جبال البرز قرار دارد که خود بخشی از زیرحوزه آبخیز هراز است (شکل ۱). این منطقه با مساحت ۱۱۲/۵۴ کیلومتر مربع در بین طول‌های جغرافیایی "۳۸°۳۸' تا ۵۲°۱۷'۲۴" شرقی و عرض های "۳۹°۳۹' تا ۳۵°۴۹'" شمالی قرار دارد. ارتفاع بیشینه و کمینه منطقه به ترتیب ۳۲۶۰ و ۱۳۴۲ متر بوده و متوسط بارندگی سالانه از حداقل حدود ۳۰۰ میلی‌تر در بخش مرکزی تا حدود ۶۰۰ میلی‌تر در بخش شرقی حوزه آبخیز نوسان دارد. متوسط دمای سالانه ۱۰ درجه سانتی‌گراد و متوسط تبخیر سالانه حدود ۱۱۰۰ میلی‌متر است (Kia and Karimi, 2021).

آبخیز هراز پرداختند. آن‌ها برای پهنه‌بندی حساسیت وقوع زمین‌لغزش از نه عامل تأثیرگذار و روش شبکه عصبی مصنوعی استفاده کردند. نتایج آن‌ها نشان داد که شبکه عصبی مصنوعی با ساختار ۹-۱۴-۱ و ضریب یادگیری ۰/۰۲ دارای ریشه میانگین مربعات خطای برابر ۰/۰۵۱ است. دقت شبکه در مرحله آموزش و آزمایش برابر ۹۲/۳۰۷ درصد و ضریب تبیین آن برابر ۹۶۲/۰ بود. در حوزه آبخیز چهل‌چای نیز (2019) Kornejady and Poorghasemi حساسیت زمین‌لغزش با استفاده از مدل‌های داده‌کاوی ارزیابی کردند. آن‌ها از دو روش ماشین‌پشتیبان بردار (SVM) و درخت رگرسیون تقویت شده (BRT) استفاده کردند. نتایج نشان داد که مدل ماشین‌پشتیبان با مساحت زیر منحنی<sup>۱</sup> ۸۲ درصد کارایی بهتری در پهنه‌بندی حساسیت وقوع زمین‌لغزش در حوزه آبخیز چهل‌چای داشته و مدل BRT با مقدار معادل ۷۷ درصد در رتبه بعدی قرار گرفت. در پژوهش دیگری، Ghasemian et al. (2018) به مقایسه کارایی مدل‌های داده‌کاوی ماشین‌پشتیبان بردار و لجستیک درختی برای پیش‌بینی مکانی زمین‌لغزش‌های سطحی پرداختند. نتایج نشان داد که مدل SVM نسبت به مدل Pourghasemi and LMT درای دقت بالاتری است. در مطالعه Rahmati (2018) با بررسی پهنه‌بندی خطر وقوع زمین‌لغزش با استفاده از مدل‌های ANN، BRT، GLM، CART، MLT، QDA، NB، MARS، GAM و RF نتایج نشان داد که مدل RF دارای بیشترین دقت برای پهنه‌بندی خطر وقوع زمین‌لغزش است.

در حوزه آبخیز کمۀ استان اصفهان، Nojavan et al. (2019) به پهنه‌بندی خطر زمین‌لغزش با استفاده از تلفیق دو مدل فرآیند تحلیل سلسله مراتبی و فازی پرداختند. آن‌ها پارامترهای ارتفاع، شیب، جهت شیب، زمین‌شناسی، کاربری اراضی، فاصله از گسل، فاصله از جاده، فاصله از رودخانه و مقدار بارش به عنوان متغیرهای تأثیرگذار در وقوع لغزش‌های منطقه مدنظر قرار دادند و برای پهنه‌بندی از عملگرهای هم‌بوشانی فازی استفاده کردند. از مقدار شاخص مجموع کیفیت (Qs) برای مقایسه کارایی عملگرهای استفاده شد. نتایج نشان داد که اپراتور فازی گامای ۰/۸ با ۶/۴۴ بالاترین مقدار Qs را در میان سایر عملگرهای فازی دارد و دارایی بهترین کارایی بوده است. در مطالعه‌ای، Ngo et al. (2021) به پهنه‌بندی حساسیت وقوع زمین‌لغزش با استفاده از الگوریتم‌های یادگیری عمیق پرداختند. آن‌ها برای پهنه‌بندی حساسیت وقوع زمین‌لغزش از مدل‌های RNN و CNN استفاده کردند. نتایج نشان داد که الگوریتم RNN دارای دقت بالاتری برای پهنه‌بندی حساسیت وقوع زمین

<sup>۱</sup> Receiver operating characteristic

<sup>۲</sup> Random forest



شکل ۱ - موقعیت منطقه مورد مطالعه در استان مازندران و ایران  
Figure 1- Location of the studied area in Mazandaran Province and Iran

مورد استفاده قرار گرفت. نقشه‌های زمین‌شناسی و فاصله از گسل از روی نقشه زمین‌شناسی استخراج شد. جهت تهیه نقشه همباران با استفاده از آمار بارندگی سالانه ایستگاه‌های موجود در منطقه (شنگله، رینه، بایجان و اسک) و با پایه زمانی ۱۰ سال با روش درون‌یابی کریجینگ در محیط GIS تهیه شد. با استفاده از تصاویر ماهواره‌ای، لغزش‌های اتفاق افتاده و مناطق مستعد به وقوع زمین‌لغزش در منطقه شناسایی شدند. از آنجایی که بسیاری از لغزش‌ها به دلیل ابعاد کم یا ظاهری مشابه با دامنه‌های مجاور در تصاویر ماهواره‌ای قابل تشخیص نیستند، لذا برای تکمیل اطلاعات، تمامی لغزش‌های قابل دسترس و تعیین نقاطی که از دید کارشناسی پتانسیل کمی جهت وقوع زمین‌لغزش دارند منطقه مورد بازدید صحراوی قرار گرفت که در مجموع ۷۸ نقطه لغزشی در سطح منطقه شناسایی شد. احتمال وقوع زمین‌لغزش در شیب‌های کمتر از پنج درصد وجود ندارد و Gomez and (Kavzoglu, 2005; Caniani et al, 2008

برای تهیه نقشه پهنه‌بندی حساسیت زمین‌لغزش با استفاده از الگوریتم‌های یادگیری ماشین در منطقه، مطابق پژوهش‌های Huang et al. (2023a), Ghasemian et al. (2023) و Lima et al. (2023) از نُه عامل شیب، جهت شیب، میزان بارش، ارتفاع از سطح دریا، کاربری اراضی، زمین‌شناسی، فاصله از جاده، فاصله از شبکه آبراهه و فاصله از گسل استفاده شد. اولین گام، گردآوری داده‌های لازم برای تبدیل به لایه‌های اطلاعاتی (کددار) برای ارزیابی این پدیده بود. بدین‌منظور، نقشه زمین‌شناسی منطقه در مقیاس ۱:۱۰۰۰۰ و نقشه‌های فاصله از جاده و فاصله از آبراهه در مقیاس ۱:۲۵۰۰۰ از سازمان زمین‌شناسی کشور فراهم شد و از روی نقشه مدل رقومی ارتفاع<sup>۱</sup> (DEM) منطقه با قدرت تفکیک مکانی  $10 \times 10$  متر، نقشه‌های شیب، جهت شیب، ارتفاع از سطح دریا تهیه شدند. نقشه کاربری اراضی منطقه از پژوهشکده حفاظت و آبخیزداری تهیه و

<sup>۱</sup> Digital elevation model

شبکه آبراهه و فاصله از گسل به عنوان پارامتر ورودی و داده‌های لغزش و غیرلغزش مشاهده شده در منطقه به عنوان پارامتر خروجی مدل‌ها در نظر گرفته شد (شکل ۳). در ابتدا داده‌های مربوط به نقشه پارامترهای استفاده شده به فرمت نقطه تبدیل و سپس از جدول نقشه‌ها استخراج شد و در ادامه این داده‌ها جهت استفاده در فرآیند مدل‌سازی بر اساس رابطه (۳) نرمال‌سازی Montaseri and Zaman Zad Ghavidel; 2017; شدند (Melesse et al., 2020). لازم به ذکر است که به صورت تصادفی از مجموع کل داده‌های لغزشی و غیرلغزشی (۱۴۸ داده، ۷۰ درصد ۱۰۲ داده) برای مرحله آموزش و ۳۰ درصد ۴۶ داده) برای صحبت‌سنجی مدل‌سازی استفاده شد. در این پژوهش برای بهینه کردن پارامترهای مدل (جدول ۴) و افزایش دقت آن از روش سعی و خطأ استفاده شد.

$$X_{\text{new}} = \frac{X - X_{\min}}{X_{\max} - X_{\min}} \quad (3)$$

در آن،  $X_{\text{new}}$  مقدار داده نرمال شده در محدوده صفر تا یک،  $X$  مقدار داده مشاهداتی،  $X_{\min}$  کمترین مقدار داده مشاهداتی و  $X_{\max}$  بیشترین مقدار داده مشاهداتی است. در ادامه، نمودار جریانی پهنه‌بندی حساسیت وقوع زمین‌لغزش در شکل ۲ ارائه شده است. همچنین، توضیح مختصری در مورد مدل‌های استفاده شده در جدول ۱ آورده شده است.

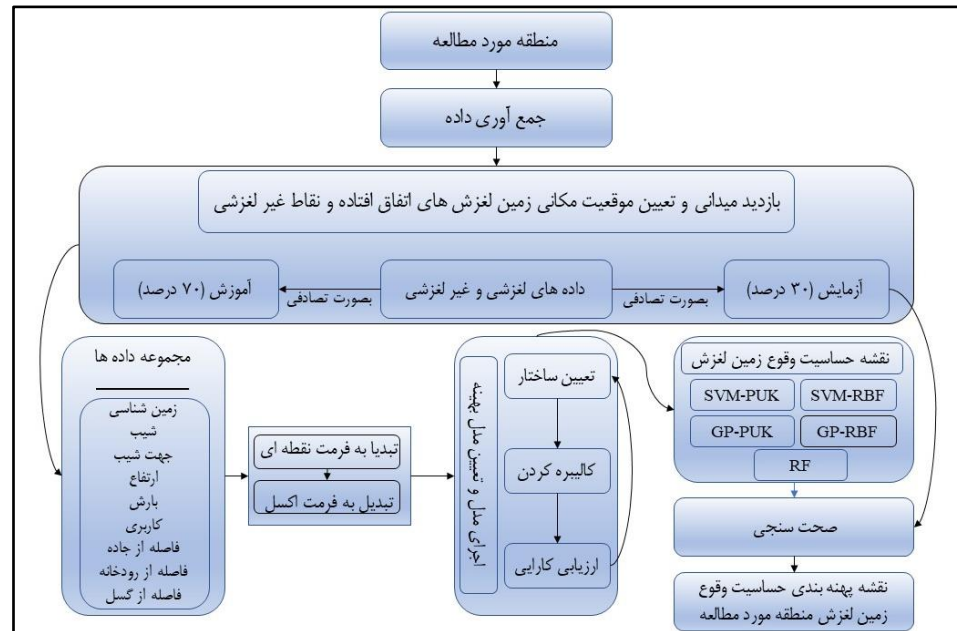
نقطه غیرلغزشی در سطح منطقه مشخص شد (شکل ۱). در ادامه و بعد از شناسایی و تعیین عوامل مؤثر بر وقوع زمین‌لغزش در منطقه، با استفاده از پارامتر نسبت فراوانی (Frequency) (ratio=FR) میزان وزن نسبی یا حساسیت به وقوع زمین‌لغزش (LSI) هر طبقه از پارامترهای تعیین شده، مشخص شد. رابطه زیر روش محاسبه نسبت فراوانی را نشان می‌دهد که در آن FR نسبت فراوانی، A درصد سطح لغزشی و B درصد مساحت طبقه در طبقه مورد نظر است. (Sehpahvand et al., 2016; Nojavan et al., 2019; Huang et al., 2023b; Es-smairi et al., 2023

$$FR = \frac{A}{B} \quad (1)$$

$$LSI = \sum FR \quad (2)$$

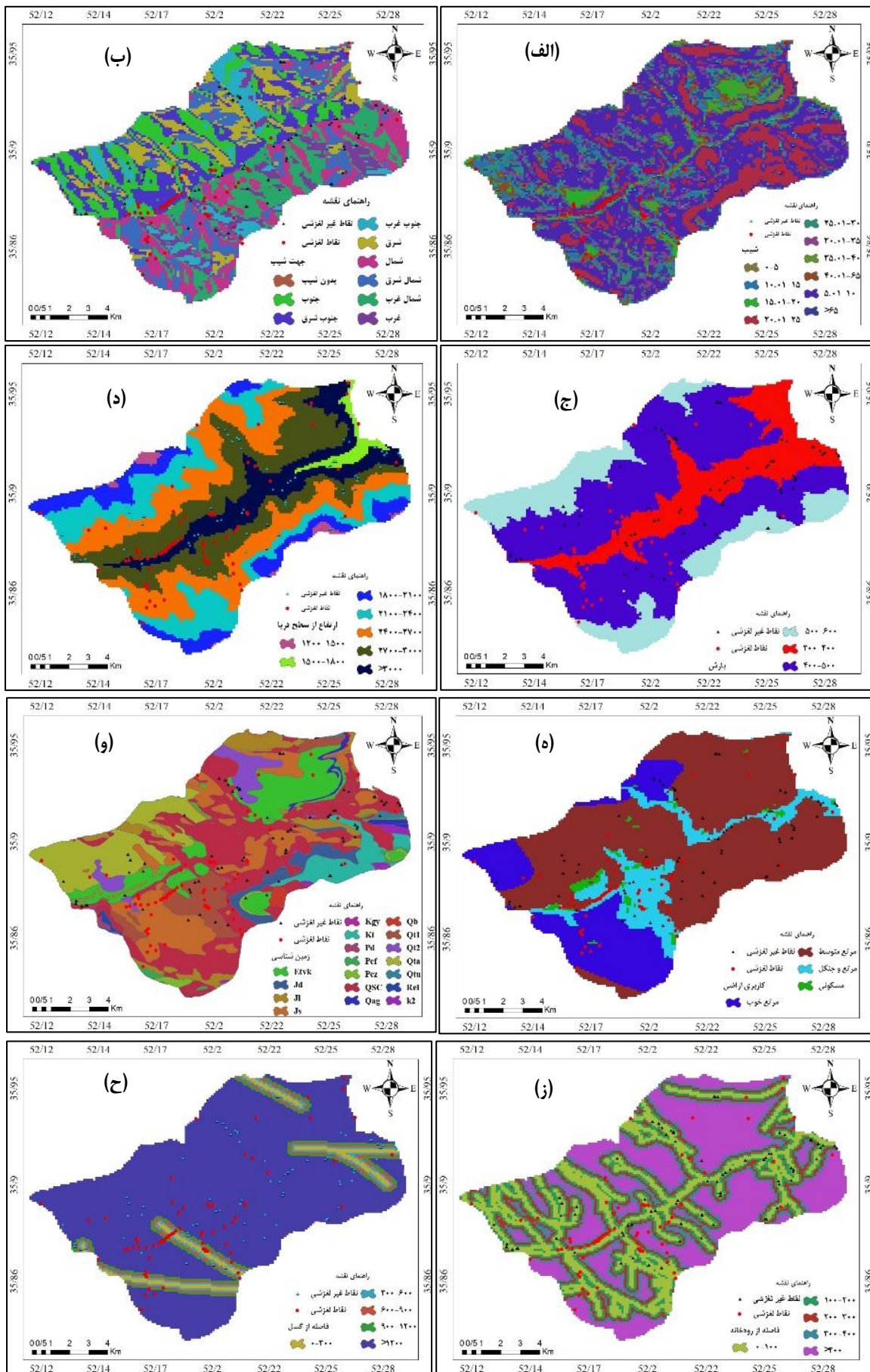
## ۲-۲- پهنه‌بندی حساسیت وقوع زمین‌لغزش

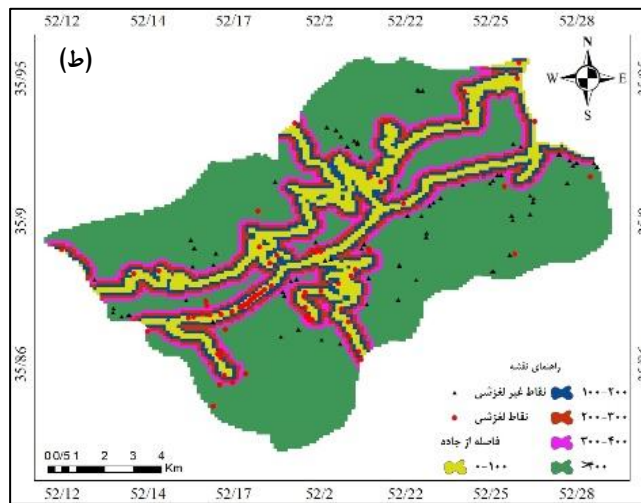
در ادامه برای پهنه‌بندی حساسیت وقوع زمین‌لغزش با استفاده از الگوریتم‌های یادگیری و تعیین بهترین مدل، از مدل‌های فرآیند گوسی (GP)، ماشین بردار پشتیبان (SVM)، و جنگل تصادفی SVM (RF)، استفاده شد. همچنین، در اجرای مدل‌های GP و FBF و PUK توسط نرم‌افزار Weka 3.9 استفاده شد. داده‌های استفاده شده برای مدل‌سازی حساسیت وقوع زمین‌لغزش شامل شبیب، جهت شبیب، میزان بارش، ارتفاع از سطح دریا، کاربری اراضی، زمین‌شناسی، فاصله از جاده، فاصله از گسل



شکل ۲- نمودار جریانی پهنه‌بندی حساسیت وقوع زمین‌لغزش

Figure 2- Flowchart of landslide susceptibility mapping





شکل ۳- نقشه داده‌های ورودی مدل‌سازی حساسیت وقوع زمین‌لغزش، جهت شیب (الف)، شیب (ب)، ارتفاع از سطح دریا (ج)، بارش (د)، زمین‌شناسی (ه)، کاربری اراضی (و)، فاصله از گسل (ز)، فاصله از رودخانه (ح)، فاصله از جاده (ط)

Figure 3- Input data map of landslide sensitivity modeling, slope aspect (a), slope (b), elevation above sea level (c), precipitation (d), geology (e), land use (f), distance from the fault (g), distance from the river (h), distance from the road (i)

#### جدول ۱- مدل‌های استفاده شده برای مدل‌سازی حساسیت وقوع زمین‌لغزش

Table 1- Models used to model the sensitivity of landslide occurrence

متغیر	توضیح مختصر	مدل
Vapnik (1999), Gill et al.(2006), Pal and Deswal (2010), Sepahvand et al. (2018), Sepahvand et al. (2021)	مدل‌های رگرسیون فرآیند گاوی بر مبنای این فرض هستند که مشاهدات تنظیم باید دارای اطلاعاتی درباره یکدیگر باشد. این فرآیند راهی برای مشخص کردن الوبتی به صورت مستقیم روی فضای تابع هستند.	GP- PUK GP- RBF
Gill et al, 2006	یک روش رگرسیون و طبقه‌بندی مبتنی بر تئوری آموزش ریاضیاتی است.	SVM- PUK SVM- RBF
Rodriguez et al. (2012), Sepahvand et al. (2018), Sepahvand et al. (2021)	چنگل تصادفی متغیر ورودی زیادی را دیپرا پوده و همچنین می‌تواند اهمیت نسبی هر یک از متغیرها را بررسی کرده و مهم‌ترین متغیر را در پیش‌بینی مدل شناسایی کند.	Random Forest

کوواریانس آن به ترتیب یک بردار و یک ماتریس است. مدل های رگرسیون فرآیند گاوی بر مبنای این فرض هستند که مشاهدات تنظیم باید حامل اطلاعاتی درباره هم‌دیگر باشد. فرآیندهای گاوی برای مشخص کردن اولویتی به صورت مستقیم روی فضای تابع هستند. این کار تعیین طبیعی توزیع گاوی است که میانگین و کوواریانس آن به ترتیب بردار و ماتریس هستند. توزیع گاوی روی بردارهای حالی که فرآیند گاوی روی توابع است. در نتیجه، مدل‌های فرآیند گاوی به دلیل داشتن قابل درباره وابستگی‌های تابعی و داده‌ها، برای تعیین به هیچ فرآیند اعتبارسنجی نیاز ندارند و مدل‌های رگرسیون فرآیند گاوی قادر به درک توزیع پیش‌بینی متناظر با ورودی آزمون هستند (Pal and Deswal, 2010).

۵-۲- چنگل تصادفی (RF) یکی از انواع روش‌های الگوریتم‌های یادگیری است که از الگوریتم‌های پایه برای پیش‌بینی‌های چندگانه استفاده می‌کند. چنگل تصادفی قابلیت دریافت متغیر ورودی زیادی را دارد و می‌تواند اهمیت نسبی متغیرها را ارزیابی و مهم‌ترین متغیر را در

#### ۳-۲- مدل ماشین‌بردار پشتیبان (SVM)

روش ماشین‌بردار پشتیبان یک روش رگرسیون و طبقه‌بندی است. این مدل مبتنی بر تئوری آموزش ریاضیاتی است و برای Cortes Vapnik (1995) توسط (SVM and Sepahvand et al., 2018) مدل‌های SVM ارائه شد که بر پایه تئوری آموزش احتمال قرار دارند، یک کلاس جدید از مدل‌هایی هستند که به منظور طبقه‌بندی و پیش‌بینی در علوم مختلف استفاده می‌شوند. روش‌های طبقه‌بندی SVM بر اساس اصول تفکیک مطلوب طبقات مختلف است که اگر طبقات قابل تفکیک باشند، این روش از میان تعداد نامحدود طبقه‌بندی‌های خطی، آن را انتخاب می‌کند که دارای حداقل باشد (Singh et al., 2019).

#### ۴-۲- فرآیند گاوی (GP)

فرآیند گاوی مجموعه‌ای از متغیرهای تصادفی است که تعداد دلخواه محدودی از آن‌ها با توزیع‌های گاوی ادغام (سازگار) شده‌اند. فرآیند گاوی به طور کامل توسط تابع میانگین  $m(x)$  و تابع کوواریانس  $k(x,x)$  آن تعیین می‌شود. این فرآیند، تعیینی طبیعی از توزیع گاوی است که میانگین و

یک نزدیک‌تر باشد، کارایی مدل افزایش می‌یابد (Kornejady et al., 2019; Silalahi et al., 2019; Pourghasemi, 2019). در مورد معیارهای Accuracy و F1-score، هر چه نتیجه به یک نزدیک باشد، کارایی مدل بالاست (Chang et al., 2023).

## جدول ۲- معیارهای سنجش خطای انتخاب مدل بهینه

Table 2- Error measurement criteria for selecting the optimal model

معیارهای سنجش خطای انتخاب	معیارهای سنجش خطای
Accuracy= $(TP+TN)/(TP+TN+FP+FN)$	Accuracy
F1- score = $2^*$	F1- score
Precision*Recall)/( Precision+ Recall)	Precision
Precision= $TP/(TP+FP)$	Recall
Recall= $TP/(TP+FN)$	Recall
TP مثبت و تخمین درست، FP مثبت و تخمین نادرست، TN منفی و تخمین درست، FN منفی و تخمین نادرست	

در این پژوهش تحلیل حساسیت به روش حذفی انجام گرفت یعنی پارامترهای ورودی یک به یک حذف شدند تا تأثیرگذارترین عامل بر خروجی مدل مشخص شود.

## ۳- نتایج و بحث

جدول ۳ نشان‌دهنده خصوصیات و طبقات مختلف عوامل مؤثر بر موقع زمین‌لغزش در منطقه مطالعه است. بر اساس داده‌های ارائه شده در این جدول، حساسیت به موقع زمین‌لغزش (LSI) در طبقات مختلف عوامل تأثیرگذار بر موقع زمین‌لغزش تعیین شد.

بر اساس داده‌های مشاهداتی موقع زمین‌لغزش در منطقه مطالعه، نتایج جدول ۳ نشان داد که درصد شیب ۳۵ تا ۴۰ درصد شیب به موقع زمین‌لغزش است. همچنین، در مورد جهت شیب و کاربری اراضی مشخص شد که جهت غربی و کاربری اراضی درختی همراه با کشاورزی دارای بیشترین حساسیت به موقع زمین‌لغزش هستند. علاوه بر این، برای عوامل ارتفاع از سطح دریا، بارش، فاصله از رودخانه، فاصله از گسل، فاصله از جاده و سازند زمین‌شناسی مشخص شد که بدتری از ۱۸۰۰-۱۵۰۰ متر، صفر تا ۳۰۰ متری متر، صفر تا ۱۰۰ متر، صفر تا ۳۰۰ متر، صفر تا ۱۰۰ متر و سازند زمین‌شناسی Qt<sub>i</sub> در منطقه مطالعه بیشترین حساسیت به موقع زمین‌لغزش را دارند. نتایج مربوط به پارامترهای بهینه مدل‌های مختلف مطالعه استفاده در جدول ۴ نشان داده شده است که این مقادیر با استفاده از روش آزمون و خطای تعیین شدند و نتایج نهایی مدل سازی و پنهان‌بندی حساسیت و موقع زمین‌لغزش با استفاده از مدل‌های مختلف بر اساس این پارامترها انجام شدند.

پیش‌بینی مدل تشخیص دهد. این روش پتانسیل لازم را به عنوان یک ابزار مدل مکانی برای ارزیابی و پیش‌بینی مسائل محیط زیستی و زمینی را دارد (Rodriguez et al., 2012; Norouzi Goshbalag and Nadiri, 2018).

## ۶- توابع کرنل

یکی از روش‌های متداول برای حل مسائل غیرخطی استفاده از توابع کرنل است که بر اساس ضرب داخلی داده‌های مفروض تعریف می‌شود. طراحی روش‌های رگرسیون مبتنی بر فرآیند گاووسی و ماشین پشتیبان بردار نیز شامل استفاده از مفهومتابع کرنل است. در واقع، با یک تبدیل غیرخطی از فضای ورودی به فضای خصیصه با ابعاد بیشتر می‌توان مسائل را به صورت خطی تفکیک‌پذیر ساخت. از مهم‌ترین توابع کرنل می‌توان به کرنل خطی، کرنل چندجمله‌ای، کرنل چندجمله‌ای نرمال شده، کرنل تابع شاعر محور و کرنل مبتنی برتابع پیرسون<sup>۱</sup> اشاره کرد. در این پژوهش از توابع کرنل شاعر محور<sup>۲</sup> (RBF) و تابع پیرسون استفاده شده است. در بسیاری از پژوهش‌ها استفاده از تابع کرنل Gill et al., 2006) شاعر محور و تابع پیرسون پنهان‌شده است (پیرسون را نشان می‌دهند.

$$(K(x, x') = e^{-\gamma|x-x'|^2}) \quad (4)$$

$$K(x, x') = \left( 1 / \left[ 1 + \left( 2 \sqrt{\|X_i - X_j\|^2} \frac{\sqrt{2(\frac{1}{\omega}) - 1}}{\sigma} \right)^2 \right]^\omega \right) \quad (5)$$

## ۷-۲- معیارهای ارزیابی کارایی مدل

در این پژوهش برای ارزیابی کارایی مدل‌ها از معیارهای منحنی ROC<sup>۳</sup> و Accuracy و F1- score استفاده شد (Chang et al., 2023). منحنی ROC مشخصه عملکرد نسبی هر مدل است. این منحنی نسبت پیکسل های که موقع یا عدم موقع زمین‌لغزش به سیله مدل به درستی پیش‌بینی شده روی محور افقی در برابر مقدار مکمل آن یعنی نسبت پیکسل‌هایی که به غلط پیش‌بینی شده‌اند روی محور عمودی ترسیم می‌شوند. مساحت زیر این منحنی AUC<sup>۴</sup> نام دارد و مدلی که بیشترین AUC را داشته باشد به عنوان مدل بهینه انتخاب می‌شود. AUC برابر ۰/۵ به عنوان مدل خنثی و هرچه به

<sup>1</sup> Pearson vii kernel function

<sup>2</sup> Radial basis kernel function

<sup>3</sup> Receiver operating characteristic

<sup>4</sup> Area under curve

جدول ۳- نسبت فراوانی پارامترهای مؤثر بر وقوع زمین‌لغزش، بخشی از حوزه آبخیز هزار

Table 3- Frequency ratio of parameters affecting the occurrence of landslides, a part of Hezar Watershed

پارامتر	طبقه	تعداد کل پیکسل	تعداد زمین‌لغزش	درصد مساحت طبقه	درصد زمین‌لغزش	FR
0-5	144	0	0.32	0.00	0.00	0.00
5.01-10	3176	2	7.06	2.56	2.56	0.363
10.01-15	17412	11	38.72	14.1	14.1	0.364
15.01-20	1800	4	3.99	5.12	5.12	1.283
20.01-25	3936	9	8.73	11.53	11.53	1.32
25.01-30	772	2	1.71	2.56	2.56	1.49
30.01-35	4352	13	9.65	16.66	16.66	1.72
35.01-40	6888	21	15.28	26.92	26.92	1.76
40.01-65	4252	11	9.43	14.1	14.1	1.49
65<	2284	5	5.07	6.41	6.41	1.26
N	7280	12	16.17	15.38	15.38	0.951
NE	5896	5	13.1	6.41	6.41	0.489
E	5552	4	12.34	5.12	5.12	0.415
SE	7188	18	15.95	23.07	23.07	1.446
S	6612	10	14.69	12.82	12.82	0.873
SW	3252	8	7.21	10.25	10.25	1.421
W	2848	9	6.31	11.53	11.53	1.826
NW	6388	12	14.18	15.38	15.38	1.084
پارامتر	طبقه	تعداد کل پیکسل	تعداد زمین‌لغزش	درصد مساحت طبقه	درصد زمین‌لغزش	FR
کاربری اراضی	Mix tree & range	5748	28	12.73	35.9	2.82
کاربری اراضی	Mean range	28900	35	64.23	44.87	0.699
کاربری اراضی	Best range	9588	14	21.3	17.95	0.842
کاربری اراضی	Residential	780	1	1.73	1.28	0.74
ارتفاع (متر)	1200-1500	1020	0	2.26	0	0.000
ارتفاع (متر)	1500-1800	6048	20	13.41	25.64	1.912
ارتفاع (متر)	1800-2100	12104	40	26.84	51.28	1.91
ارتفاع (متر)	2100-2400	12096	11	26.89	14.1	0.524
ارتفاع (متر)	2400-2700	8464	6	18.82	7.69	0.409
ارتفاع (متر)	2700-3000	4744	1	10.55	1.282	0.121
ارتفاع (متر)	>3000	540	0	1.2	0	0.000
بارش (میلی‌متر)	300-400	9284	42	20.56	53.84	2.618
بارش (میلی‌متر)	400-500	26120	31	58.05	39.74	0.685
بارش (میلی‌متر)	500 <	9612	5	21.37	6.41	0.3
فاصله رودخانه (متر)	0-100	10344	27	22.95	34.61	1.508
فاصله رودخانه (متر)	100-200	7876	18	17.48	23.07	1.32
فاصله رودخانه (متر)	200-300	6088	13	13.51	16.66	1.233
فاصله رودخانه (متر)	300-400	5228	6	11.62	7.69	0.662
فاصله رودخانه (متر)	400 <	15480	14	34.41	17.94	0.522
فاصله گسل (متر)	0-300	1640	18	3.6	23.07	6.394
فاصله گسل (متر)	300-600	1712	12	3.78	15.38	4.067
فاصله گسل (متر)	600-900	1676	11	3.7	14.1	3.806
فاصله گسل (متر)	900-1200	1764	8	3.9	10.25	2.625
فاصله گسل (متر)	1200 <	38224	29	84.99	37.17	0.437
فاصله جاده (متر)	0-100	5356	32	11.84	41.02	3.463
فاصله جاده (متر)	100-200	4344	8	9.64	10.25	1.063
فاصله جاده (متر)	200-300	3804	6	8.451	7.69	0.91
فاصله جاده (متر)	300-400	3332	4	7.4	5.12	0.692
فاصله جاده (متر)	400 <	28180	28	62.64	35.89	0.573
زمین‌شناسی	QSC	13392	21	29.75	26.96	0.905
زمین‌شناسی	Q2t	1768	0	3.93	0.00	0.000
زمین‌شناسی	Q1t	3080	22	6.8	28.21	4.145
زمین‌شناسی	Qag	516	0	1.14	0.00	0.000
زمین‌شناسی	Qta	4916	3	10.93	3.85	0.352
زمین‌شناسی	Qtu	156	0	0.34	0.00	0.000
زمین‌شناسی	Qb	260	0	0.57	0.00	0.000
زمین‌شناسی	EKtv	5876	4	13.06	5.13	0.392
زمین‌شناسی	EKgy	12	0	0.02	0.00	0.000
زمین‌شناسی	PEZ	384	0	0.85	0.00	0.000
زمین‌شناسی	PEf	348	0	0.77	0.00	0.000
زمین‌شناسی	K2	352	0	0.78	0.00	0.000
زمین‌شناسی	Kt	2264	3	5.03	3.85	0.764
زمین‌شناسی	J1	2712	0	6.03	0.00	0.000
زمین‌شناسی	Jd	1500	1	3.33	2.28	0.384
زمین‌شناسی	JS	7260	24	16.1	30.77	1.911
زمین‌شناسی	TRe1	124	0	0.27	0.00	0.000
زمین‌شناسی	Pd	96	0	0.21	0.00	0.000

جدول ۴- پارامترهای بهینه مدل‌های استفاده شده برای پهنه‌بندی حساسیت وقوع زمین‌لغزش

Table 4- The optimal parameters of the models used for landslide sensitivity zoning

مدل‌ها	پارامترها
GP-PUK	Gaussian noise= 0.1, $\omega= 0.01$ , $\sigma= 4.0$
GP- RBF	Gaussian noise= 0.1, $\gamma= 11.0$
SVM- PUK	C = 2, $\omega = 0.001$ , $\sigma = 0.4$
SVM- RBF	C= 18, $\gamma = 6.0$
Random Forest	K=10, I= 100

به عنوان مدل برتر برای پهنه‌بندی حساسیت وقوع زمین‌لغزش در منطقه مورد مطالعه انتخاب شد. هم‌چنین مدل فرآیند گویی با کرنل RBF با توجه به معیارهای سنجش دقت به عنوان بدترین مدل برای پهنه‌بندی حساسیت وقوع زمین‌لغزش در منطقه انتخاب شد.

مطابق جدول ۴ مشخص شد هریک از مدل‌های استفاده شده در این پژوهش با چه مقداری از پارامترها، نتایج بهتری ارائه داده‌اند. جدول ۵ معیارهای ارزیابی دقت مدل‌سازی را نشان می‌دهد. مطابق نتایج این جدول مشخص شد، مدل RF با توجه به معیارهای ارزیابی دقت مدل Accuracy، AUC در مرحله آموزش به ترتیب برابر  $0.957 \pm 0.009$  و  $0.999 \pm 0.001$  است.

جدول ۵- ارزیابی عملکرد مدل‌های مورد استفاده برای پهنه‌بندی حساسیت وقوع زمین‌لغزش

Table 5- Evaluation of the performance of the models used for landslide susceptibility zoning

AUC	F1-score	recall	precision	Accuracy	FN	FP	TN	TP	مدل‌ها
0.979	0.76	0.679	0.864	0.80	9	3	15	19	GP_PUK
0.895	0.612	0.556	0.682	0.73	12	7	12	15	GP_RBF
0.979	0.735	0.667	0.818	0.79	9	4	15	18	SVM_PUK
0.873	0.489	0.478	0.50	0.69	12	11	12	11	SVM_RBF
0.999	0.957	0.917	1.00	0.90	2	0	22	22	RF

جدول ۶- تحلیل واریانس ANOVA یک‌طرفه بین مقادیر مشاهداتی و پیش‌بینی شده و عدم وقوع زمین‌لغزش

Table 6- One-way ANOVA analysis of variance between observed and predicted values of occurrence and non-occurrence of landslides

تفاوت مقادیر واقعی و مقادیر پیش‌بینی	F crit	P-value	F	مدل‌ها
ns	3.946876	0.403492	0.704523	PUK-GP
ns	3.946876	0.511181	0.435101	RBF-GP
ns	3.946876	0.41737	0.663806	PUK-SVM
ns	3.946876	0.437897	0.607177	RBF-SVM
ns	3.946876	0.590623	0.291455	Random Forest

عدم معناداری ns

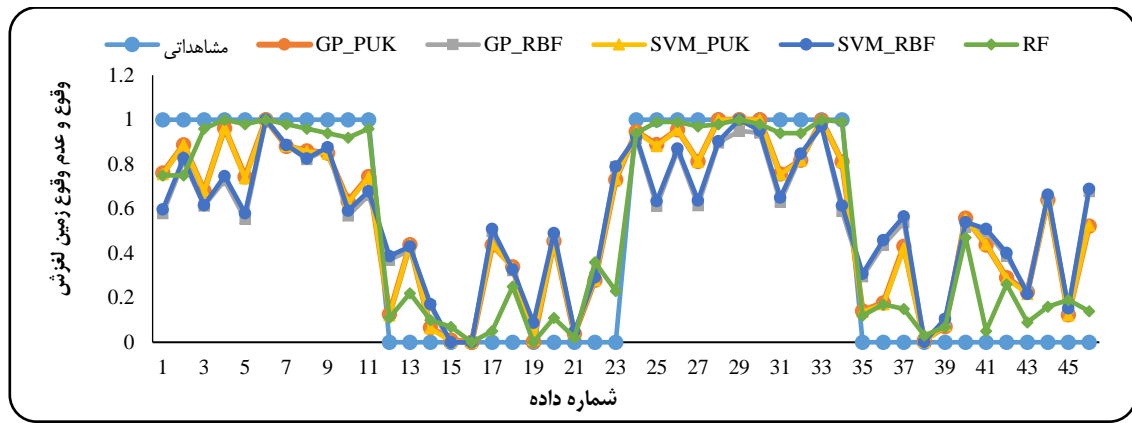
طبقه پایدار، ۳۲/۱۶ درصد (۳۶/۱۹ کیلومتر مربع) در طبقه کم خطر، ۱۳/۳۸ درصد (۱۵/۰۶ کیلومتر مربع) در طبقه خطر متوسط، ۹/۷۳ درصد (۱۰/۹۵ کیلومتر مربع) در طبقه خطر زیاد و ۱۲/۸۴ درصد (۱۴/۴۶ کیلومتر مربع) در طبقه خطر خیلی زیاد قرار گرفته است.

شکل ۴ رابطه تغییرات بین مقادیر مشاهداتی و مقادیر پیش‌بینی شده وقوع زمین‌لغزش توسط مدل‌های مختلف را نشان می‌دهد.

جدول ۶ تحلیل واریانس (ANOVA)<sup>۱</sup> یک‌طرفه بین مقادیر مشاهداتی و پیش‌بینی شده و عدم وقوع زمین‌لغزش را برای هر مدل نشان می‌دهد. مطابق نتایج این جدول، با توجه به میزان P-value مشخص شد که در هیچ‌کدام از مدل‌ها، اختلاف بین مقادیر مشاهداتی و تخمینی معنادار نیست. این نتایج نشان‌دهنده این موضوع است که تمام الگوریتم‌های استفاده شده در این پژوهش توانایی تشخیص نقاط حساس به وقوع زمین‌لغزش را در منطقه مورد مطالعه داشته‌اند.

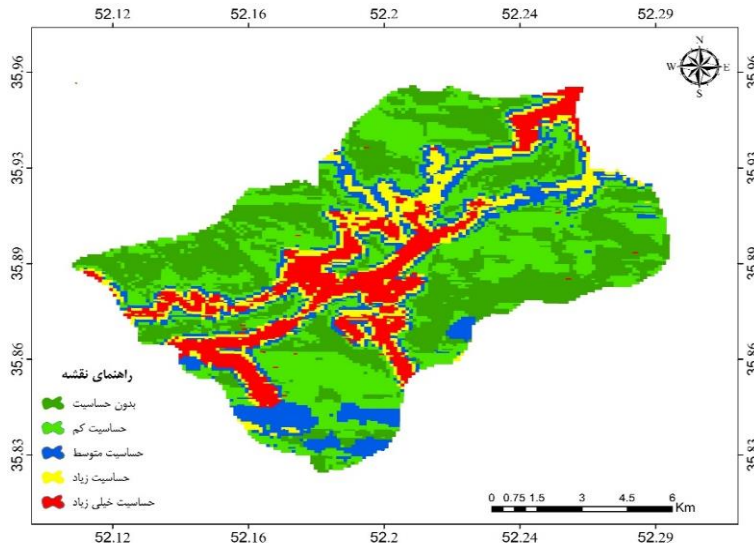
در ادامه، نقشه پهنه‌بندی حساسیت وقوع زمین‌لغزش در منطقه مورد مطالعه با استفاده از مدل جنگل تصادفی (RF) تهیی شد (شکل ۵). بدین صورت که با تعریف مقادیر پیش‌بینی شده GIS حساسیت وقوع زمین‌لغزش توسط مدل RF به نرم‌افزار GIS نقشه پهنه‌بندی حساسیت وقوع زمین‌لغزش تهیی و در پنج طبقه حساسیت خیلی کم، کم، متوسط، زیاد و خیلی زیاد تقسیم‌بندی شدند. مطابق نتایج به دست آمده (جدول ۷) مشخص شد که در منطقه مورد مطالعه، ۳۱/۸۶ درصد (۳۵/۸۶ کیلومتر مربع) در

<sup>1</sup> Analysis of variance



شکل ۴- نمودار تغییرات مقادیر مشاهداتی و تخمینی وقوع و عدم وقوع زمین‌لغزش مدل‌های مختلف

Figure 4- Chart of changes in observed and estimated values of occurrence and non-occurrence of landslides of different models



شکل ۵- نقشه حساسیت زمین‌لغزش با استفاده از مدل RF

Figure 5- Landslide susceptibility map using RF model

حذف پارامتر جهت شب، مدل با ضریب همبستگی ۰/۹۳ و ریشه میانگین مربعات خطای ۰/۱۹ حساسیت بیشتری نسبت به سایر پارامترها برای پهنه‌بندی حساسیت وقوع زمین‌لغزش داشته است.

جدول ۷ نتایج تحلیل حساسیت مدل را نشان می‌دهد. مطابق نتایج این جدول مشخص شده که با حذف کدام یک از پارامترهای ورودی مدل برتر نتیجه بهرتری دارد. با توجه به نتایج این جدول و معیارهای ارزیابی مدل خطای مدل مشخص شد که با

جدول ۷- تحلیل حساسیت مدل RF

Table 7- RF model sensitivity analysis

پارامترهای ورودی	عامل حذف شده	CC	RMSE
ارتفاع، فاصله گسل، کاربری اراضی، زمین‌شناسی، بارش، فاصله رودخانه، فاصله جاده، شب	جهت	0.9377	0.1954
جهت، فاصله گسل، کاربری اراضی، زمین‌شناسی، بارش، فاصله رودخانه، فاصله جاده، شب	ارتفاع	0.974	0.1412
جهت، ارتفاع، کاربری اراضی، زمین‌شناسی، بارش، فاصله رودخانه، فاصله جاده، شب	فاصله گسل	0.9763	0.1276
جهت، فاصله گسل، ارتفاع، زمین‌شناسی، بارش، فاصله رودخانه، فاصله جاده، شب	کاربری اراضی	0.9744	0.1333
جهت، فاصله گسل، کاربری اراضی، ارتفاع، زمین‌شناسی، بارش، فاصله رودخانه، فاصله جاده، شب	زمین‌شناسی	0.9612	0.1586
جهت، فاصله گسل، کاربری اراضی، زمین‌شناسی، ارتفاع، فاصله رودخانه، فاصله جاده، شب	بارش	0.9559	0.1732
جهت، فاصله گسل، کاربری اراضی، زمین‌شناسی، بارش، ارتفاع، فاصله جاده، شب	فاصله رودخانه	0.9559	0.1623
جهت، فاصله گسل، کاربری اراضی، زمین‌شناسی، بارش، ارتفاع، شب	فاصله جاده	0.9666	0.1524
جهت، فاصله گسل، کاربری اراضی، زمین‌شناسی، بارش، فاصله رودخانه، ارتفاع	شب	0.979	0.1264

پژوهش به عنوان برترین مدل برای تخمین حساسیت به وقوع زمین‌لغزش تعیین شد که این نتایج با نتایج مطالعه Pourghasemi and Rahmati (2018) آن‌ها نیز در پژوهش خود دریافتند که مدل جنگل تصادفی دارای بالاترین دقت برای پهنه‌بندی حساسیت وقوع زمین‌لغزش است.

#### ۴- نتیجه‌گیری

حرکت‌های توده‌ای از پدیده‌های مخرب طبیعی در سراسر جهان هستند که هر ساله خسارات‌های زیادی به بار می‌آورند. گاهی جبران این خسارت‌ها ممکن نیست و یا به وقت و هزینه بسیار زیاد نیاز دارد. وقوع حرکات توده‌ای از جمله زمین‌لغزش تأثیر منفی بر زندگی و فعالیت‌های اقتصادی بشر دارد. دولتها و مراکز پژوهشی سال‌هاست برای ارزیابی و نشان دادن پراکنش زمین‌لغزش‌ها و برنامه‌ریزی در آن مناطق با ابزارهای مختلف تلاش می‌کنند. در این پژوهش برای پهنه‌بندی حساسیت وقوع زمین‌لغزش از الگوریتم‌های یادگیری GP\_RBF، GP\_PUK، Random Forest و SVM\_RBF، SVM\_PUK استفاده شد. پارامترهای ورودی برای مدل‌سازی و پهنه‌بندی حساسیت وقوع زمین‌لغزش در این پژوهش شامل شبیه، جهت، ارتفاع، زمین‌شناسی، کاربری اراضی، فاصله از گسل، فاصله از جاده، فاصله از رودخانه و بارش بوده است و نقاط لغزشی و غیرلغزشی در هر پیکسل به عنوان پارامتر خروجی مدل‌سازی در نظر گرفته شد. در پژوهش حاضر با استفاده از برسی میدانی و تفسیر تصاویر هوایی، نقشه نقاط وقوع زمین‌لغزش و نقاط غیرلغزشی مشاهده شده، تهیه شد که در مجموع ۱۵۲ نقطه لغزشی و غیرلغزشی در سطح منطقه شناسایی شد. بعد از انتخاب الگوریتم جنگل تصادفی به عنوان الگوریتم بهینه، نقشه پهنه‌بندی حساسیت به وقوع زمین‌لغزش در منطقه مورد مطالعه تهیه شد. نتایج بررسی نقشه حساسیت به وقوع زمین‌لغزش نشان داد که به ترتیب ۳۱/۸۶، ۳۱/۸۴، ۹/۷۳، ۱۳/۳۸، ۳۲/۱۶ و ۱۲/۸۴ درصد از سطح منطقه مورد مطالعه در درجه‌های بدون خطر، خطر کم، خطر متوسط، خطر زیاد و خطر بسیار زیاد قرار گرفته است. نتایج به دست آمده نشان‌دهنده این موضوع است که بخش زیادی از سطح منطقه در طبقه پایدار و خطر کم وقوع زمین‌لغزش قرار دارد. همچنین، نتایج بررسی معناداری ANOVA نشان داد که تفاوت معناداری بین مقادیر برآورد شده حساسیت وقوع زمین‌لغزش و عدم وقوع زمین‌لغزش توسط مدل‌های SVM\_PUK، GP\_RBF، GP\_PUK، SVM\_RBF و RF و مقادیر مشاهداتی وجود ندارد. این بخش نتایج نشان داد که این الگوریتم‌ها توانایی بالایی در تشخیص رابطه بین پارامترهای ورودی برای وقوع زمین‌لغزش در منطقه مورد مطالعه می‌باشند. علاوه‌بر موارد گفته شده نتایج بخش تحلیل

مطابق نتایج بررسی نقشه زمین‌لغزش‌های اتفاق افتاده مشاهده شد که شبیه‌های بین ۳۰ تا ۴۰ درصد، حساس‌ترین درصد شبیه به وقوع زمین‌لغزش هستند. این نتایج با نتایج مطالعه Ghasemian et al. (2018) که در پژوهش خود به بیان کردند که شبیه‌های ۱۵-۸ درصد بیش‌ترین حساسیت به وقوع زمین‌لغزش و با نتایج مطالعه Huang et al. (2023a) که عنوان کردند بیش‌ترین زمین‌لغزش در شبیه‌های ۱۱/۲-۱۴/۶ اتفاق افتاده است، هم‌خوانی ندارد. اما با نتایج مطالعه Lima et al. (2023) هم‌خوانی دارد زیرا نتایج پژوهش آن‌ها نشان داد که بیش‌ترین زمین‌لغزش‌ها در شبیه‌های حدود ۴۰ درصد رخ داده‌اند. در مورد نقشه سازندهای زمین‌شناسی مشخص شد که، سازنده آبرفت‌های قدیمی حساس‌ترین سازنده زمین‌شناسی به وقوع زمین‌لغزش تعیین شدند. این نتایج با یافته پژوهش Huang et al. (2023a) و et al. (2023) هم‌خوانی ندارد. زیرا آن‌ها به ترتیب سنگ‌های آذرین و کربناته را به عنوان حساس‌ترین سازندهای زمین‌شناسی معرفی کردند. دلیل این مغایرت نتایج در منطقه مورد مطالعه، وجود آبرفت‌های قدیمی در شبیه‌های بالاست که با نتایج Kornejady and Pourghasemi (2019) مطابقت دارد. با توجه به زمین‌لغزش‌های به وقوع پیوسته در منطقه مورد مطالعه، مشخص شد که وقوع زمین‌لغزش تقریباً در هر جهت شیبی امکان‌پذیر است، اما جهت‌های غربی و جنوب‌شرقی دارای بیش‌ترین حساسیت به وقوع لغزش هستند که با نتایج Mطالعه Ghaseian et al. (2018) هم‌خوانی دارد و با نتایج Chen et al. (2023) مغایرت دارد. در منطقه مورد مطالعه محدوده ارتفاعی بین ۱۵۰۰ تا ۱۸۰۰ متر از سطح زمین به عنوان حساس‌ترین ارتفاعات در برابر وقوع زمین‌لغزش در منطقه مورد مطالعه هستند. این نتایج با یافته پژوهش Ghaseian et al. (2018) که بیان‌گر این است که در ارتفاعات بین ۱۸۰۰-۲۰۰۰ متر بیش‌ترین حساسیت به وقوع زمین‌لغزش وجود دارد، هم‌خوانی ندارد. همچنین، با نتایج Mطالعه Huang et al. (2023b) هم‌خوانی ندارد. در مورد پارامترهای فاصله از گسل، فاصله از رودخانه، بارندگی و کاربری اراضی به ترتیب محدوده صفر تا ۳۰۰ متر، صفر تا ۱۰۰ متر، صفر تا ۱۰۰ متر، ۳۰۰-۴۰۰ میلی‌متر و کاربری درخت و کشاورزی به عنوان حساس‌ترین منطقه به وقوع زمین‌لغزش در منطقه مورد مطالعه بودند که با نتایج Es-smairi et al. (2023) هم‌خوانی ندارد. در بخش مدل‌سازی و تهیه نقشه حساسیت وقوع زمین‌لغزش مشخص شد که مدل جنگل تصادفی (RF) با معیارهای ارزیابی کارایی مدل Accuracy، F1-score و AUC در مرحله آموزش به ترتیب برابر ۰/۹۵۷ و ۰/۹۹۹، نسبت به دیگر مدل‌های استفاده شده در این

- های دانش زمین، ۳(۲-پیاپی ۱۰)، ۷۸-۳۴. doi:20.1001.1.20088299.1391.3.2.5.0 سپهوند، علیرضا، احمدی، حسن، نظری سامانی، علی اکبر، و فیض نیا، سادات (۱۳۹۷). طبقه‌بندی ناهمواری‌ها با استفاده از شاخص موقعیت توپوگرافی و بررسی ارتباط بین ناهمواری‌ها و سازنده‌های زمین‌شناسی. پژوهش‌های دانش زمین، ۳۰(۳۳)، ۴۵-۳۰. doi: 10.29252/esrj.9.1.30.4۵ سپهوند، علیرضا، مرادی، حمیدرضا، و عبدالمالکی، پرویز (۱۳۹۵). پهنه‌بندی خطر زمین‌لغزش با استفاده از شبکه عصبی مصنوعی در بخشی از حوزه‌ی آبخیز هراز. پژوهش‌های آبخیزداری، ۴(۲۹)، ۹-۱۹. doi:10.22092/wmej.2017.115313.1۹-۹ سلیمانی، کریم، زندی، جلال، حبیب‌نژاد روش، محمود (۱۳۹۲). ارزیابی کارایی روش‌های نسبت فراوانی، آماری دو متغیر Wi و Wf در تهیه نقشه حساسیت زمین‌لغزش (مطالعه موردنی: حوضه آبخیز واژرود مازندران). زمین‌شناسی مهندسی و محیط زیست، ۹۶(۴)، ۴۱-۵۰. علیجانی، بهلول، قهرودی تالی، منیژه، و امیراحمدی، ایوالقاسم (۱۳۸۶). پهنه‌بندی خطر وقوع زمین‌لغزش در دامنه‌های شمالی شاه جهان با استفاده از GIS. تحقیقات جغرافیایی، ۲۲(۱)، <https://www.sid.ir/paper/29735/fa> ۱۱۷-۱۳۲ قاسمیان، بهاره، عابدینی، موسی، روستایی، شهرام، و شیرزادی، عطالله (۱۳۹۷). بررسی مقایسه‌ای مدل‌های ماشین پشتیبان بردار و لجستیک درختی برای ارزیابی حساسیت زمین‌لغزش. <https://www.sid.ir/68-47/fa/paper/523407/fa> کرنتزدی آیدینگ، و پورقاسمی، حمیدرضا (۱۳۹۸). ارزیابی حساسیت زمین‌لغزش با استفاده از مدل‌های داده‌کاوی. مهندسی و مدیریت آبخیز، ۱۱(۱)، ۲۸-۴۲. doi:10.22092/ijwmse..۴۲-۲۸ 2019.118436 کیا، عیسی، و کریمی، ولی‌الله (۱۳۹۹). بررسی پارامترهای دما و بارندگی حوزه آبخیز هراز تحت تأثیر اقلیم. مخاطرات محیط طبیعی، ۹(۲۶)، ۹-۱۴۵. doi:10.22111/jneh.2020.32606.1596.1۶۰-۹ گلی مختاری، لیلا، و ناعمی تبار، مهناز (۱۴۰۱). مدل‌سازی و پیش‌بینی مکانی مخاطره زمین‌لغزش با استفاده از الگوریتم‌های پیشرفته داده کاوی. پژوهش‌های ژئومرفولوژی کمی، ۱۰(۴)، ۱۱۶-۱۳۷. doi: 10.22034/gmpj.2022.291242.1284 مقیم، حسن، و نجابت، مسعود (۱۳۹۸). مقایسه کارآمدی مدل‌های نیلسون اصلاح شده و اثر نسبی در پهنه‌بندی خطر زمین‌لغزش حوزه آبخیز سدپارسیان، استان فارس. مهندسی و مدیریت آبخیز، ۱۱(۱)، ۲۶۴-۲۷۲. doi:10.22092/ijwmse.2019.118748.۲۷۲-۲۶۴ متصری، مجید، و زمان زاده قویدل، سروین (۱۳۹۵). مقایسه عملکرد مدل‌های هوش مصنوعی در تخمین پارامترهای کیفی آب رودخانه در دوره‌های کم آبی و پرآبی، آب و خاک، ۳۰(۶)،

حساسیت مدل‌سازی نشان داد که پارامتر جهت شبیه نسبت به سایر پارامترهای ورودی، دارای بیشترین تأثیر بر نتایج مدل بود. وقوع زمین‌لغزش در منطقه مورد مطالعه باعث وقوع خسارت‌های جای و مالی زیادی از جمله تخریب جاده‌ها، زمین‌های کشاورزی، جنگل‌ها، باغات، منازل مسکونی و غیره شده است. لذا، با توجه به موارد ذکر شده پهنه‌بندی خطر وقوع زمین‌لغزش برای جلوگیری از توسعه مناطق دارای خطر وقوع زمین‌لغزش جهت کاهش خسارت‌های جانی و مالی انجام شود. با توجه به نتایج این پژوهش، می‌توان از این مدل‌ها به‌دلیل صرفه‌جویی در زمان و هزینه برای پهنه‌بندی حساسیت وقوع زمین‌لغزش و شناسایی مناطق با خطر وقوع حرکت‌های توده‌ای استفاده کرد و بر اساس نتایج بدست آمده، به اولویت بندی مناطق پایدار و با حساسیت کم به وقوع حرکت‌های توده‌ای جهت اجرای عملیات عمرانی پرداخت.

## سپاسگزاری

از دانشگاه لرستان جهت همکاری تشکر می‌کیم.

## تضاد منافع نویسنده‌گان

نویسنده‌گان این مقاله اعلام می‌دارند که هیچ‌گونه تضاد منافعی در خصوص نگارش و انتشار مطالب و نتایج این پژوهش وجود ندارند.

## دسترسی به داده‌ها

داده‌ها و نتایج استفاده شده در این پژوهش از طریق مکاتبه با نویسنده مسئول در اختیار قرار خواهد گرفت.

## مشارکت نویسنده‌گان

علیرضا سپهوند: راهنمایی، مفهوم‌سازی، ویرایش و بازبینی مقاله، کنترل نتایج؛ نسرین بیرانوند: انجام تحلیل‌های نرم‌افزاری و آماری، نگارش نسخه اولیه مقاله، ویرایش مقاله.

## منابع

- احمدآبادی، علی، و رحمتی، مریم (۱۳۹۴). کاربرد شاخص‌های کمی ژئومروفومتریک در شناسایی پهنه‌های مستعد زمین‌لغزش با استفاده از مدل SVM. پژوهش‌های ژئومروفولوژی کمی، ۳(۴)، ۱۹۷-۲۱۳. doi:20.1001.1.22519424.1394.4.3.14.1
- احمدی، ح (۱۳۸۶). ژئومروفولوژی کاربردی (جلد ۱). چاپ چهارم، انتشارات دانشگاه تهران، ۷۱۴ صفحه.
- پورقاسمی، حمیدرضا، حمیدرضا، و فلمنی عقدا، سید‌محمد تقیه نفشه حساسیت زمین‌لغزش با استفاده از سیستم استنتاج عصبی-فازی تطبیقی در شمال شهر تهران. پژوهش

نوروزی قوشبلاغ، حسین، و ندیری، عطاءالله (۱۳۹۸). پیش‌بینی سطح آب زیرزمینی دشت بوکان با استفاده از مدل‌های منطق فازی، جنگل تصادفی و شبکه عصبی. *مرتع و آبخیزداری*، ۱(۷۲)، ۲۹۱-۳۰۶. doi:10.22059/jrwm.2018.68924

پیاپی (۵۰)، ۱۷۴۷-۱۷۳۳. doi: 10.22067/JSW.V30I6..22357

نوخوان محمدرضاء، شاه زیدی، سمیه سادات، داوودی، محمود، و امین الرعایایی، هاجر (۱۳۹۸). پهنگندی خطوط زمین لغزش با استفاده از تلفیق دو مدل فرآیند تحلیل سلسله مراتبی و فازی. پژوهش‌های ژئومورفوژئی کمی، ۷(۴)، ۱۴۲-۱۵۹. doi:20.1001.1.22519424.1398.7.4.9.3

*Geoenvironment*, 2(4), 100195. doi:10.1016/j.geogeo.2023.100195.

Ganesh, B., Vincent, Sh., Pathan, S., & Benitez, S.R.G. (2023). Machine learning based landslide susceptibility mapping models and GB-SAR based landslide deformation monitoring systems: Growth and evolution. *Remote Sensing Applications: Society and Environment*, 29, 100905. doi:10.1016/j.rsase.2022.100905.

Ghasemian, B., Abedini, M., Raushiti, Sh., & Shirzadi, A. (2018). Comparative study of support vector machine and tree logistic models for landslide susceptibility assessment. *Natural Geography Quarterly*, 10(39), 47-68. [In Persian]

Gill, M.K., Asefa, T., Kemblowski, M.W., & McKee, M. (2006). Soil moisture prediction using support vector machines. *Journal of the American Water Resources Association*, 42(4), 1033-1046. doi:10.1111/j.1752-1688.2006.tb04512.x

Goli-Mokhtar, L., & Naimi Tabar, M. (2022). Spatial modeling and prediction of landslide hazard using advanced data mining algorithm (case study: Kalat city). *Quantitative Geomorphology Research*, 10(4), 116-137. doi: 10.22034/gmpj.2022.291242.1284 [In Persian]

Gomez, H., & Kavzoglu, T. (2005) Assessment of shallow landslide susceptibility using artificial neural networks in Jabonosa River Basin, Venezuela. *Engineering Geology*, 78(1-2), 11-27. doi: 10.1016/j.enggeo.2004.10.004

Huang, F., Xiong, H., Yao, C., Catani, F., Zhou, C., & Huang, J. (2023b). Uncertainties of landslide susceptibility prediction considering different landslide types. *Journal of Rock Mechanics and Geotechnical Engineering*, 15(11), 2954-2972. doi: 10.1016/j.jrmge.2023.03.001.

Huang, W., Ding, M., Li, ZH., Yu, J., Ge, D., Liu, Q., & Yang, J. (2023a). Landslide susceptibility mapping and dynamic response along the Sichuan-Tibet transportation corridor using deep learning algorithms. *Catena*, 222, 106866. doi:10.1016/j.catena.2022.106866

Kavzoglu, T., Sahin, E.K., & Colkesen, I. (2014) Landslide susceptibility mapping using GIS-

## References

- Ahmabadi, A., & Rahmati, M. (2016). An application of quantitative geomorphometric indicators in identifying '[susceptible zones by using SVM model. *Quantitative Geomorphological Research*, 4(3), 197-213. doi:20.1001.1.22519424.1394.4.3.14.1 [In Persian]
- Ahmadi, H. (2007). Applied Geomorphology. 4th Edition:Tehran University Press, 688 pages. [In Persian]
- Alijani, B., Ghahrodi Tali, M., & Amir Ahmadi, A. (2007). Landslide risk zoning in the northern slopes of Shahjahan using GIS. *Geographical Research*, 22(1), 117-132. [In Persian]
- Caniani, D., Pascale, S., Sdao, F., & Sole A. (2008) Neural networks and landslide susceptibility: a case study of the urban area of Potenza. *Natural Hazards*, 45, 55-72. doi:10.1007/s11069-007-9169-3
- Chang, Z., Huang, F., Huang, J., Jiang, Sh.H., Yuting Liu, Y., Meena, S.R., & Catani, F. (2023). An updating of landslide susceptibility prediction from the perspective of space and time. *Geoscience Frontiers*, 14(5), 101619. doi:10.1016/j.gsf.2023.101619
- Chen, J., Li, L., Xu, C., Huang, Y., Luo, Z., Xu, X., & Lyu, Y. (2023). Freely accessible inventory and spatial distribution of large-scale landslides in Xianyang City, Shaanxi Province, China. *Earthquake Research Advances*, 3(3), 100217. doi: 10.1016/j.eqrea.2023.100217.
- Colkesen, I., Sahin, E.K., & Kavzoglu, T. (2016). Susceptibility mapping of shallow landslides using kernel-based Gaussian process, support vector machines and logistic regression. *Journal of African Earth Sciences*, 118, 53-64. doi:10.1016/j.jafrearsci.2016.02.019
- Cortes, C. & Vapnik, V. (1995). Support-vector networks. *Machine Learning*, 20(3), 273-297. doi: 10.1007/BF00994018.
- Crosta, B.G. (2009). Dating, triggering, modelling and hazard assessment of large landslides. *Geomorphology*, 103(1), 1-4. doi:10.1016/j.geomorph.2008.04.007
- Es-smairi, A., Elmoutchou, B., Mir, R.A., Touhami, A.E.O., & Namous, M. (2023). Delineation of landslide susceptible zones using Frequency Ratio (FR) and Shannon Entropy (SE) models in northern Rif, Morocco. *Geosystems and*

- based multi-criteria decision analysis, support vector machines, and logistic regression. *Landslides*, 11(3), 425-439. doi:10.1007/s10346-013-0391-7
- Kia, E., & Karimi, V.A. (2021). Investigation of temperature and rainfall parameters of Haraz River Basin affected by climate change. *Journal of Natural Environment Hazards*, 9(26), 145-160. doi:10.22111/jneh.2020.32606.1596. [In Persian]
- Kornejady, A., & Pourghasemi, H.R. (2019). Landslide susceptibility assessment using data mining models. *Watershed Engineering and Management*, 11(1), 28-43. doi:10.22092/ijwmse.2019.118436 [In Persian]
- Lan, H.X., Zhou, C.H., Wang, L.J., Zhang, H.J., & Li, R.H. (2004). Landslide watershed, Yunnan, China. *Engineering Geology*, 76, 101-128. doi: 10.1016/j.enggeo.2004.06.009
- Lee, S., Ryu, J.H., Lee, M.J., & Won, J.S. (2006). The Application of artificial neural networks to landslide susceptibility mapping at Janghung, Korea. *Mathematical Geology*, 38(2), 199-220. doi:10.1007/s11004-005-9012-x
- Lee, S., Ryu J.H., Lee, M.J. & Won, J.S. (2003). Use of an artificial neural network for analysis of the susceptibility to landslides at Boun, Korea. *Environmental Geology*, 44, 820–833. doi:10.1007/s00254-003-0825-y
- Lima, P., Steger, S., Glade, T., & Mergili, M. (2023). Conventional data-driven landslide susceptibility models may only tell us half of the story: Potential underestimation of landslide impact areas depending on the modeling design. *Geomorphology*, 430, 108638. doi:10.1016/j.geomorph.2023.108638.
- Melesse, A.M., Khosravi, K., Tiefenbacher, J.P., Heddam, S., Kim, S., Mosavi, A., & Pham, B.T. (2020). River water salinity prediction using Hybrid machine learning models. *Water*, 12(10), 2951. doi:10.3390/w12102951
- Moghim, H., & Najabat, M. (2019). Comparison of the efficiency of modified Nielsen models and their relative effect in landslide risk zoning in Sedparsian watershed, Fars province. *Watershed Engineering and Management*, 11(1), 272-264. doi:10.22092/ijwmse.2019.118748 [In Persian]
- Montaseri, M., & Zaman Zad Ghavidel, S. (2017). Comparing the performance of artificial intelligence models in estimating water quality parameters in periods of low and high water flow. *Journal of Water and Soil*, 30(6), 1733-1747. [In Persian]
- Ngo, Ph.T.T., Panahi, M., Khosravi, KH., Ghorbanzadeh, O., Kariminejad, N., Artemi Cerdá, A., & Lee, S. (2021). Evaluation of deep learning algorithms for national scale landslide susceptibility mapping of Iran. *Geoscience Frontiers*, 12(2), 505-519. doi:10.1016/j.gsf.2020.06.013
- Nojavan, M.R., Shahzadi, S.S., Davoudi, M., & Amin al-Raaii, H. (2019). Landslide risk zoning using the combination of two hierarchical and fuzzy analysis process models. *Quantitative Geomorphology Researches*, 7(4), 159-142. doi:20.1001.1.22519424.1398.7.4.9.3 [In Persian]
- Norouzi Goshbalag, H., & Nadiri, A. (2018). Forecasting the underground water level of Bukan Plain using fuzzy logic, random forest and neural network models. *Pasture and Watershed Quarterly*, 72(1), 291-306. doi:10.22059/jrwm.2018.68924 [In Persian]
- Pal, M., & Deswal, S. (2010). Modelling plie capacity using Gaussian process regression. *Computers and geotechnics*, 37(7-8), 942-947. doi:10.1016/j.compgeo.2010.07.012
- Pourghasemi, H.R., Yansari, Z.T., Panagos, P., & Pradhan, B. (2018). Analysis and evaluation of landslide susceptibility: a review on articles published during 2005–2016 (periods of 2005–2012 and 2013–2016). *Arabian Journal of Geosciences*, 11(9), 193. doi:10.1007/s12517-018-3531-5
- Pourghasemi, H.R., & Rahmati, O. (2018). Prediction of the landslide susceptibility: Which algorithm, which precision?. *Catena*, 162, 177-192. doi:10.1016/j.catena.2017.11.022
- Rodriguez, V., Ghimire, B., Rogan, J., Chica-Olmo, M., & Rigol-Sánchez, J.P. (2012). An assessment of the effectiveness of a Random Forest classifier for land-cover classification. *ISPRS Journal of Photogram Remote Sens*, 67, 9-104. doi:10.1016/j.isprsjprs.2011.11.002
- Rossi, M., Guzzetti, F., Salvati, P., Donnini, M., Napolitano, E., & Bianch, C. (2019). A predictive model of societal landslide risk in Italy. *Earth-Science Reviews*, 196, 1-19. doi:10.1016/j.earscirev.2019.04.021
- Sepahvand, A., Sihag, P., Singh, B., & Zand, M. (2018). Comparative evaluation of infiltration models. *KSCE Journal of Civil Engineering*, 22, 4173-4184. doi:10.1007/s12205-018-1347-1
- Sepahvand, A., Singh B., Ghobadi, M., & Sihag, P. (2021). Estimation of infiltration rate using data-driven models. *Arabian Journal of Geosciences*, 14(42), doi:10.1007/s12517-020-06245-2.
- Sepahvand, A.R., Ahmadi, H., Nazari Samani, A.A., Fiznia, S. (2018). Landforms classification by Topographic Position Index and assessment of teh relation between landforms and lithological features. *Researches in Earth Sciences*, 9(1-Serial

- Number 33), 30-4. doi: 10.29252/esrj.9.1.30  
[In Persian]
- Sepahvand, A.R., Moradi, H.R., & Abdul Maleki, P. (2016). Landslide risk zoning using artificial neural network in a part of Haraz watershed. *Watershed Management Research*, 29(4), 9-19. doi:10.22092/wmef.2017.115313 [In Persian]
- Silalahi, F.E.S., Pamela., Arifanti, Y., & Hidayat, F. (2019). Landslide susceptibility assessment using frequency ratio model in Bogor, West Java, Indonesia. *Official Journal of the Asia Oceania Geosciences Society (AOGS)*, 6(10), 1-17. doi:10.1186/s40562-019-0140-4
- Singh, P., Singh, V.P., Angelaki, A., Kumar, V., Sepahvand, A., & Golia, E. (2019). Modelling of infiltration using artificial intelligence techniques in semi-arid Iran. *Hydrological Sciences Journal*, 64(13), 1647-1658. doi:10.1080/02626667.2019.1659965
- Solaimani, K., Zandi, J., & Habibnejad, M. (2015). Evaluating the efficiency of frequency ratio, bivariate (Wi), and (Wf) methods of landslide susceptibility mapping. *Journal of Geoscience*, 24(94), 41-50.
- Tran, T.H., Dam, D.D., Jalal, F.E., Al-Ansari, N., Ho, L.S., Phong, T.V., Iqbal, M., Le, H.V., Nguyen, H.B.T., Prakash, I., & Pham, B.T. (2021). GIS-based soft computing models for landslide susceptibility mapping, hindawi. *Mathematical Problems in Engineering*, 9914650. doi:10.1155/2021/9914650
- Trigila, A., Iadanza, C., Esposito, C., & Scarascia-Mugnozza, G. (2015). Comparison of logistic regression and random forests techniques for shallow landslide susceptibility assessment in Giampilieri (NE Sicily, Italy). *Geomorphology*, 249, 119–136. doi:10.1016/j.geomorph.2015.06.001
- Vapnik, V. (1999). An overview of statistical learning theory. *IEEE Transactions on Neural Network*, 10(5), 988-999. [http://www.mit.edu/~6.454/www\\_spring\\_2001/emin/slt.pdf](http://www.mit.edu/~6.454/www_spring_2001/emin/slt.pdf)
- Yilmaz, I. (2009). Landslide susceptibility mapping using frequency ratio, logistic regression, artificial neural networks and their comparison: A case study from Kat landslides (Tokat-Turkey). *Computers and Geosciences*, 35(6), 1125–1138. doi:10.1016/j.cageo.2008.08.007